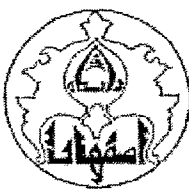


112981



دانشگاه اصفهان

دانشکده علوم

گروه زمین شناسی

پایان نامه کارشناسی ارشد رشته‌ی زمین شناسی گرایش مهندسی

بررسی زمین شناسی مهندسی ساختگاه سد صفا با تاکید بر نفوذ پذیری و تزریق پذیری پی و تکیه‌گاه‌ها

استادان راهنما:

دکتر اکبر قاضی فرد

دکتر محمود هاشمی اصفهانیان

پژوهشگر:

مینا صنایعی کرمانی

۱۳۸۸/۲/۲

آموزه‌های عالیات دانشگاه
تسبیه مارکت

اسفند ماه ۱۳۸۷

۱۱۴۹۵۸

شیوه نگارش ملایم نامه
رجایت شد است
تیکسیلات تکمیلی دانشگاه اصفهان



دانشگاه اصفهان

دانشکده علوم

گروه زمین شناسی

پایان نامه‌ی کارشناسی ارشد رشته زمین شناسی گرایش مهندسی
خانم مینا صنایعی کرمانی تحت عنوان

بررسی زمین شناسی مهندسی ساختمان سد صفا با تأکید بر نفوذپذیری و توزیق پذیری پی و تکیه گاه‌ها

در تاریخ ۸۷/۱۲/۷ توسط هیأت داوران زیر بررسی و با درجه ...
به تصویب نهایی رسید.

۱- استاد راهنمای اول پایان نامه دکتر اکبر قاضی فرد با مرتبه‌ی علمی دانشیار

امضا - دکتر اکبر قاضی فرد

۲- استاد راهنمای دوم پایان نامه دکتر محمود هاشمی اصفهانیان با مرتبه‌ی علمی استادیار

امضا - دکتر محمود هاشمی اصفهانیان

۳- استاد داور داخل گروه دکتر رسول اجل لوئیان با مرتبه‌ی علمی استادیار

امضا - دکتر رسول اجل لوئیان

۴- استاد داور خارج از گروه دکتر محمد علی روشن ضمیر با مرتبه‌ی علمی استادیار

امضا مدیر گروه

کلیه حقوق مادی مترتب بر نتایج مطالعات، ابتكارات
و نوآوری های ناشی از تحقیق موضوع این پایان نامه
متعلق به دانشگاه اصفهان می باشد.

سپاسگزاری

سپاس خدائی را که اول است بی آنکه پیش از او اولی باشد، و آخر است بی آنکه پس از او آخری باشد خدائی که دیده‌های بینندگان از دیدنش فرو مانده و اندیشه‌های توصیف کنندگان از وصفش عاجز شده‌اند. آفریدگان را به قدرت خود پدیده آورده، و ایشان را بر وفق خواست خود اختراع فرموده، آنگاه در طریق اراده خود روان ساخته و در راه محبت خود برانگیخته، در حالی که از حدی که بر ایشان تعیین نموده قدمی پیش و پس نتوانند نهاد.

پس از حمد و سپاس خداوند بر خود لازم می‌دانم از همه عزیزانی که در این راه مرا یاری نمودند قدردانی کنم.

از جناب آقای دکتر قاضی فرد و جناب آقای دکتر هاشمی اصفهانیان برای راهنمایی‌های ارزنده‌شان به عنوان استاد راهنمای قدردانی می‌کنم.

از جناب آقای مهندس سخنی به خاطر که در اختیار گذاشتن اطلاعات لازم نهایت مساعدت را داشته‌اند کمال تشکر را دارم.

همچنین از اساتید گروه زمین‌شناسی آقایان دکتر اجل‌لوئیان و دکتر صفائی صمیمانه تشکر می‌کنم. از دوست عزیز و مهریانم خانم مهندس جنت به خاطر زحمات زیادی که کشیدند و همیشه یار و همراه من بوده‌اند کمال تشکر را دارم.

از همکلاسی‌ها و دوستان عزیزم مهندس فراشی، حاجی پور، بردبار، نجفی، زرقانی، محمد حسینی، حیدری، عنایتی تشکر می‌کنم. از زحمات سرکار خانم شاپیری مسئول کتابخانه گروه به خاطر مهربانیها و زحماتی که کشیده‌اند سپاسگزارم. هم چنین از مساعدت سرکار خانم ساکتی، سبک خیز و ابن نصیر متشرک هستم.

توفیق روزافزون برای همه این عزیزان را از درگاه خداوند متعال خواستارم.

از خانواده عزیزم که در این راه پر فراز و نشیب همیشه یار و مایه دلگرمی من
بوده‌اند، پدر و مادرم، معین، مهناز و آرش عزیزم تشکر می‌کنم. خداوند یار و
همراه ایشان باشد.

تقدیم به پدر و مادر فداکارم
که مظهر عشق و صفا هستند.

چکیده

ساختگاه مخزنی صفا در استان کرمان و در حدود ۳۰ کیلومتری شمال خاور شهرستان بافت قرار دارد و بر محل تلاقي رودبار و رابر احداث می‌شود. مختصات جغرافیایی ساختگاه مورد مطالعه به طول خاوری $^{\circ}58$ و عرض شمالی $^{\circ}15$ و $^{\circ}29$ می‌باشد. این سد از نوع سد خاکی با هسته رسی می‌باشد. ارتفاع سد در حدود ۹۲ متر می‌باشد. حجم مخزن در حدود ۱۲۶ میلیون متر مکعب می‌باشد.

سنگ بستر ساختگاه سد صفا متشکل از تناب لایه‌های مارن و گل سنگ و ماسه سنگ بهمراه میان لایه‌های مارن سیلتی و سیلت متعلق به سازند قرمز بالایی (*U.R.F*) می‌باشد. این سازند به سبب ماهیت لیتولوژیکی خود قادر نفوذپذیری اولیه می‌باشد، لذا هیدرولوژی توده سنگ متأثر از نفوذپذیری ثانویه‌ای است که تحت تاثیر درزه و ترک در توده سنگ شکل گرفته است.

در این تحقیق پس از شناسایی و ارزیابی زمین شناسی عمومی و زمین شناسی مهندسی ساختگاه سد، با ارزیابی نفوذپذیری ساختگاه بر اساس لوژن و شاخص نفوذپذیری ثانویه SPI، چگونگی رفتارهای هیدرولیکی توده سنگ بر اساس دیاگرام‌های P-Q مورد بررسی قرار گرفت و زون‌های نفوذپذیر مشخص گردید. با توجه به عدم ارتباط مشخص بین تعداد درزه‌ها و لوژن، برای تحلیل هر چه بهتر نفوذپذیری و تزریق پذیری توده سنگ، بازشده‌گی هیدرولیکی درزه‌ها مورد بررسی قرار گرفت تا با شناسایی مقدار بحرانی بازشده‌گی درزه‌ها مقاطع لازم جهت تزریق تعیین شده و نوع سیمان مصرفی برای تهیه دوغاب و جزئیات دیگر عملیات تزریق نهایی مشخص گردید. با بررسی نتایج عملیات تزریق آزمایشی انجام شده در تکیه گاه چپ و در نهایت با جمع بندی اطلاعات بدست آمده، پرده تزریق برای ساختگاه سد صفا طراحی و پیشنهاد گردید.

واژه‌های کلیدی: بازشده‌گی هیدرولیکی، تزریق پذیری، سد صفا، شاخص نفوذپذیری ثانویه، کرمان، لوژن

فهرست مطالعه

عنوان	صفحه
فصل اول : کلیات	
۱-۱-۱- مقدمه	۱
۱-۲-۱- مطالعات قبلی (مرحله اول)	۲
۱-۳-۱- مطالعات اخیر (مرحله دوم)	۳
۱-۴-۱- اهداف تحقیق	۳
۱-۵-۱- هدف پژوهش	۳
۱-۶-۱- موقعیت جغرافیایی و راههای دسترسی به ساختگاه سد	۴
۱-۷-۱- هواسنایی و اقلیم منطقه	۴

فصل دوم : مروری بر متون گذشته

۱-۲-۱- مقدمه	۶
۱-۲-۲- خصوصیات زمین‌شناسی مهندسی سنگ‌ها	۶
۱-۲-۲-۱- طبقه بندی ماده سنگ	۷
۱-۲-۲-۲- طبقه بندی مهندسی توده سنگ	۷
۱-۲-۲-۲-۱- شاخص کیفیت توده سنگ (RQD)	۷
۱-۲-۲-۲-۲- طبقه بندی ژئومکانیکی (RMR)	۹
۱-۲-۲-۲-۳- سیستم طبقه بندی کیفیت توده سنگ (Q)	۱۰
۱-۲-۲-۴- شاخص مقاومت زمین‌شناسی (GSI)	۱۱
۱-۲-۴-۱- تعیین GSI بر اساس مشاهدات صحرایی	۱۱
۱-۲-۴-۲- تعیین GSI بر اساس طبقه بندی‌های RMR و Q	۱۱
۱-۳- نشت و نفوذ پذیری	۱۳
۱-۳-۱- مشخصات درزهای شکستگی	۱۳
۱-۳-۲- تداوم	۱۴
۱-۳-۲-۱- بازشدگی و پرشدگی درزهای	۱۴
۱-۳-۲-۲- شکل و فاصله درزهای وضعیت اتصال قطعات سنگ به یکدیگر	۱۵
۱-۳-۴- زبری درزهای	۱۶
۱-۴-۱-۳-۲- محاسبه زبری درزه (JRC)	۱۸

صفحه	عنوان
۱۹	- وضعیت درزهای نسبت به گمانه‌های تزریق
۲۰	- وضعیت درزهای نسبت به ساختگاه سد و مخزن
۲۱	- جریان در طول درزهای
۲۳	- بازشدگی درزهای و تخمین آنها
۲۷	- تعیین نفوذپذیری به وسیله تست فشار آب
۲۸	- نحوه آزمایش لوزن
۲۹	- تحلیل آزمایش‌های لوزن بر اساس نمودارهای P-Q
۳۰	- رفتارهای هیدرولیکی
۳۰	- نحوه تشخیص شکست و جک هیدرولیکی با استفاده از نمودارهای P-Q
۳۱	- تزریق
۳۳	- خصوصیات رئولوژیکی دوغاب
۳۶	- قابلیت نفوذ دوغاب
۳۷	- جداشدگی
۳۸	- سخت شدگی دوغاب
۳۹	- مواد افزودنی دوغاب
۴۰	- فشار تزریق
۴۰	- فشار تزریق متوسط
۴۰	- فشار تزریق زیاد
۴۱	- گسیختگی هیدرولیکی
۴۲	- فشار برکنش
۴۲	- ناپایداری توده سنگ
۴۵	- تزریق آزمایشی
۴۵	- آرایش مثلثی
۴۶	- آرایش خطی
۴۶	- خورند دوغاب
۴۷	- مقاطعی با جذب آب بالا و خورند دوغاب کم
۴۷	- مقاطعی با جذب تقریباً متناسب آب و دوغاب
۴۷	- مقاطعی با جذب آب پایین و جذب دوغاب بالا

عنوان	صفحه
۹-۲- ارتباط مقادیر لوزان با تزریق پذیری توده سنگ	۴۸
۱۰-۲- طبقه بندی مهندسی آمیزه‌ها	۴۹
۱۰-۲- دوغاب معلق	۴۹
۱۰-۲- امولسیون‌ها (شیرابه‌ها)	۵۰
۱۰-۲- محلول‌ها	۵۰
۱۱-۲- دوغاب سیمانی	۵۱
۱۱-۲- سیمان (C)	۵۱
۱۱-۲- بنتونیت (B)	۵۳
۱۱-۲- افزودنی‌ها (A)	۵۳
۱۱-۲- مواد پرکننده	۵۳
۱۱-۲- مواد واکنشی	۵۳
۱۱-۲- مواد با تاثیر خاص	۵۴
۱۱-۲- آب (W)	۵۴
۱۲-۲- نسبت اختلاط آمیزه‌های تزریق	۵۴
۱۲-۲- خصوصیات آمیزه‌های تزریق	۵۶
۱۳-۲- گرانزوی	۵۶
۱۳-۲- وزن مخصوص	۵۶
۱۳-۲- چسبندگی	۵۶
۱۳-۲- ته نشینی ذرات	۵۶
۱۳-۲- اندازه ذرات	۵۶
۱۴-۲- موقعیت و شکل کلی پرده آببند	۵۷
۱۴-۲- عمق پرده آببند	۵۹
۱۴-۲- پرده تزریق کامل	۵۹
۱۴-۲- پرده تزریق معلق	۵۹
۱۴-۲- شعاع نفوذ آمیزه تزریق	۶۰
۱۴-۲- آرایش گمانه‌ها	۶۰
۱۴-۲- ضخامت پرده	۶۱
۱۵-۲- روش‌های تزریق	۶۱

صفحه	عنوان
۶۱	-۱-۱۵-۲- روش تزریق در سنگ
۶۲	-۱-۱۵-۲- تزریق مرحله‌ای از بالا به پایین با پکر
۶۲	-۲-۱-۱۵-۲- تزریق مرحله‌ای از بالا به پایین بدون پکر
۶۲	-۳-۱-۱۵-۲- تزریق مرحله‌ای از پایین به بالا با پکر
۶۳	-۴-۱-۱۵-۲- تزریق چرخشی
۶۳	-۵-۱-۱۵-۲- تزریق منطقه‌ای
۶۳	-۲-۱۵-۲- روش تزریق در خاک
۶۴	-۳-۱۵-۲- معیار خاتمه عملیات تزریق
۶۴	-۱۶-۲- شاخص نفوذپذیری ثانویه (SPI)
۶۵	-۱-۱۶-۲- طبقه بندی توده سنگ بر اساس (SPI)
۶۵	CLASS A - ۱-۱-۱۶-۲
۶۵	CLASS B - ۲-۱-۱۶-۲
۶۵	CLASS C - ۳-۱-۱۶-۲
۶۶	CLASS D - ۴-۱-۱۶-۲
۶۶	-۲-۱۶-۲- تفسیر نتایج بر اساس دیاگرام‌های SPI
۶۶	A - ۱-۲-۱۶-۲
۶۶	B - ۲-۲-۱۶-۲
۶۷	C - ۳-۲-۱۶-۲
۶۷	D - ۴-۲-۱۶-۲
۶۷	-۳-۱۶-۲- بهسازی زمین با استفاده از SPI

فصل سوم: زمین‌شناسی منطقه مورد مطالعه

۶۹	-۱-۳- مقدمه
۶۹	-۲-۳- ریخت‌شناسی
۷۰	-۳-۳- زمین‌شناسی عمومی منطقه
۷۱	-۴-۳- چینه‌شناسی
۷۱	-۱-۴-۳- نهشته‌های کواترنر
۷۱	-۱-۱-۴-۳- پادگانه‌های آبرفتی قدیمی (Qt1)

عنوان	صفحة
۲-۱-۴-۳-پادگانه‌های آبرفتی جوان (Qt2)	۷۲
۳-۱-۴-۳-خاک‌های برجا (RUS)	۷۲
۴-۱-۴-۳-واریزه‌های دامنه‌ای (آبشنست دامنه‌ای) QS	۷۲
۵-۱-۴-۳-آبرفت رودخانه‌ای (Qal)	۷۳
۲-۴-۳-سنگ پستر	۷۳
۳-۵-۳-زمین ساخت عمومی منطقه	۷۴

فصل چهارم: روش تحقیق

۱-۱-۴-مقدمه	۷۷
۲-۲-۴-مطالعات دفتری مقدماتی	۷۷
۳-۳-۴-مطالعات صحرایی	۷۸
۱-۳-۴-روش‌های مشاهده‌ای	۷۸
۱-۱-۳-۴-بررسی لیتولوژیکی و ساختاری	۷۸
۲-۱-۳-۴-برداشت درزهای ساختگاه	۷۸
۲-۳-۴-روش‌های دستگاهی	۷۸
۱-۲-۳-۴-حفر گمانه‌ها	۷۸
۲-۲-۳-۴-آزمایش‌های نفوذپذیری	۷۸
۳-۲-۳-۴-برداشت سطح آب گمانه‌ها	۷۸
۴-۴-۴-مطالعات آزمایشگاهی	۷۸
۱-۴-۴-شرایط آب زیرزمینی و نتایج آن	۷۸
۵-۴-۴-مطالعات دفتری نهایی	۷۹
۱-۵-۴-تهیه نقشه‌های زمین شناسی و زمین شناسی مهندسی	۷۹
۲-۵-۴-تهیه مقاطع زمین شناسی	۷۹
۳-۵-۴-تهیه مقاطع نفوذپذیری	۷۹
۴-۵-۴-تعیین سیستم درزه	۷۹
۵-۵-۴-تعیین نمودارهای کیفیت سنگ	۷۹

صفحه	عنوان
	فصل پنجم : بحث و نتیجه گیری
۸۰	۱-۵ - مقدمه
۸۰	۲-۵ - زمین شناسی محور سد
۸۱	۳-۵ - زمین شناسی ساختمانی ساختگاه سد
۸۱	۴-۵ - بررسی سیستم شکستگی ها
۸۲	۵-۵ - درزهای تکیه گاه راست
۸۳	۶-۵ - درزهای تکیه گاه چپ
۸۴	۷-۵ - هیدروژئولوژی
۸۸	۸-۵ - خصوصیات زمین شناسی مهندسی و ژئوتکنیکی توده سنگ های محور سد
۸۹	۹-۵ - خصوصیات فیزیکی و مکانیکی توده سنگ ها
۹۱	۱۰-۵ - کیفیت توده سنگ
۹۳	۱۱-۵ - طبقه بندی RMR
۹۵	۱۲-۵ - طبقه بندی کیفی توده سنگ یا Q
۹۵	۱۳-۵ - طبقه بندی GSI
۹۶	۱۴-۵ - تحلیل گمانه های اکتشافی
۹۷	۱۵-۵ - گمانه های اکتشافی تکیه گاه چپ
۹۷	۱۶-۵ - گمانه SA220
۹۸	۱۷-۵ - گمانه SA222
۹۹	۱۸-۵ - گمانه های اکتشافی بستر محور سد
۹۹	۱۹-۵ - گمانه SA215
۱۰۰	۲۰-۵ - گمانه های تکیه گاه راست
۱۰۰	۲۱-۵ - گمانه SA223
۱۰۱	۲۲-۵ - گمانه SA216
۱۰۲	۲۳-۵ - تحلیل کلی گمانه های اکتشافی
۱۰۵	۲۴-۵ - بررسی گمانه های تزریق آزمایشی
۱۰۶	۲۵-۵ - گمانه SG1
۱۰۹	۲۶-۵ - گمانه SG2
۱۱۰	۲۷-۵ - گمانه SG3

صفحة	عنوان
۱۱۱.....	۴-۷-۵ - گمانه CHG1
۱۱۳.....	۵-۷-۵ - گمانه SG5
۱۱۴.....	۶-۷-۵ - گمانه SG6
۱۱۵.....	۷-۷-۵ - گمانه CHG2
۱۱۶.....	۸-۷-۵ - بررسی کلی گمانه‌های تزریق
۱۱۸.....	۸-۵ - طراحی پرده آببند
۱۱۸.....	۸-۵ - تعیین اندازه ذرات سیمان با توجه به بازشدگی هیدرولیکی
۱۲۰.....	۸-۵ - عمق پرده تزریق
۱۲۱.....	۸-۵ - موقعیت و عمق پرده تزریق
۱۲۱.....	۸-۵ - تعداد ردیف گمانه‌های تزریق
۱۲۱.....	۸-۵ - فاصله گمانه‌های تزریق
۱۲۱.....	۸-۵ - فشار تزریق
فصل ششم : نتایج و پیشنهادات	
۱۲۶.....	۶-۱ - نتایج کلی
۱۳۱.....	۶-۲ - پیشنهادات
۱۳۲.....	منابع و مأخذ

فهرست شکل‌ها

عنوان	
صفحه	
شکل ۱-۱- موقعیت جغرافیایی و راه دسترسی به آن.....	۵
شکل ۱-۲- نحوه محاسبه RQD و مثالی از آن.....	۸
شکل ۲-۲- رابطه RQD و فرکانس درزهای در یک متر.....	۹
شکل ۳-۲- پارامترهای موثر در طبقه‌بندی Q.....	۱۰
شکل ۴-۲- تخمین GSI بر اساس مشاهدات صحرایی.....	۱۲
شکل ۵-۲- ویژگی درزهای بر اساس شکل هندسی آنها.....	۱۵
شکل ۶-۲- خصوصیات نامگذاری مقطع زیری درزهای.....	۱۷
شکل ۷-۲- تاثیر زیری درزهای در اثر تزریق.....	۱۷
شکل ۸-۲- مقطع نمونه برای محاسبه زیری درزهای.....	۱۸
شکل ۹-۲- وضعیت درزهای نسبت به گمانه‌های تزریق.....	۱۹
شکل ۱۰-۲- تعیین روش حفاری گمانه.....	۲۰
شکل ۱۱-۲- وضعیت درزهای نسبت به ساختگاه.....	۲۱
شکل ۱۲-۲- درزهای صفحه ای موازی.....	۲۲
شکل ۱۳-۲- نمایش بازشدگی مکانیکی (e_m یا E) و بازشدگی هیدرولیکی (e یا e_h).....	۲۴
شکل ۱۴-۲- رابطه بین دبی در درزهای زاویدار و افقی.....	۲۷
شکل ۱۵-۲- نمای کلی از آزمایش لوزن.....	۲۸
شکل ۱۶-۲- نمودار P-Q جهت تشخیص شکست هیدرولیکی.....	۳۱
شکل ۱۷-۲- نمودار شماتیک عمل تزریق.....	۳۲
شکل ۱۸-۲- نمایش درزهای بازشدگی و مواد پرشده.....	۳۳
شکل ۱۹-۲- نمایش مدل رئولوژیکی نیوتون و بینگهام.....	۳۴
شکل ۲۰-۲- اندازه‌گیری رفتار دوغاب، مقدار تسلیم و ویسکوزیته.....	۳۴
شکل ۲۱-۲- نمایش بازشدگی حداقل و بازشدگی بحرانی.....	۳۶
شکل ۲۲-۲- مدل نشان دهنده ایجاد فیلتر شدن.....	۳۷
شکل ۲۳-۲- ارتباط نسبت آب به سیمان، بازشدگی و مواد افزودنی، روی زمان فیلتر شدن.....	۳۷
شکل ۲۴-۲- نمودار فرایند سخت شدگی.....	۳۸
شکل ۲۵-۲- ارزیابی فشار تزریق در بازشدگی‌های مختلف.....	۴۰
شکل ۲۶-۲- تعیین فشار بر حسب عمق در انواع سنگ‌ها.....	۴۱

عنوان	صفحة
شکل ۲-۲۷-۲- اثرات منفی ناشی از افزایش فشار تزریق در یک منطقه	۴۲
شکل ۲-۲۸-۲- محاسبه فشار تزریق در بالا و زیر تراز آب زیرزمینی	۴۳
شکل ۲-۲۹-۲- روش تعیین فاصله بین گمانه‌ها بواسیله تزریق آزمایشی	۴۵
شکل ۲-۳۰-۲- دسته بندی توده‌سنگ‌ها بر اساس نفوذپذیری و تزریق پذیری	۴۸
شکل ۲-۳۱-۲- ته نشین شدن ذرات در آمیزه ناپایدار	۵۰
شکل ۲-۳۲-۲- رابطه بین اندازه ذرات دوغاب‌های مختلف	۵۲
شکل ۲-۳۳-۲- مواد افزودنی در دوغاب سیمان و محدودیت‌های استفاده از آنها	۵۴
شکل ۲-۳۴-۲- نمایی شماتیک از پرده تزریق	۵۸
شکل ۲-۳۵-۲- طراحی بر اساس سطح آب زیرزمینی در پرآب ترین رژیم	۵۹
شکل ۲-۳۶-۲- گرادیان شکستی و پارامترهای موثر	۶۱
شکل ۲-۳۷-۲- تزریق چرخشی	۶۳
شکل ۲-۳۸-۲- انواع مختلف نمودار Pt-SPI	۶۷
شکل ۲-۳۹-۲- بهسازی زمین با استفاده از SPI	۶۸
شکل ۳-۱-۳- نمایی دور از مرز نهشته‌های آبرفتی و سازند قرمز بالایی	۷۲
شکل ۳-۲-۳- نمایی کلی محل محور سد (دید به سمت خاور)	۷۴
شکل ۳-۳-۳- نقشه زمین شناسی ساختگاه سد	۷۶
شکل ۴-۱-۵- کنتور دیاگرام کلیه درزه‌های برداشت شده از تکیه‌گاه راست	۸۳
شکل ۴-۲-۵- نمایش تصویر استریوگرافیک سطوح ناپیوستگی در جناح راست	۸۳
شکل ۴-۳-۵- کنتور دیاگرام کلیه درزه‌های برداشت شده از تکیه‌گاه چپ	۸۴
شکل ۴-۴-۵- نمایش تصویر استریوگرافیک سطوح ناپیوستگی در جناح چپ	۸۴
شکل ۵-۵-۵- تغییرات سطح آب گمانه‌ها در دوره ۱/۵ ساله برای گمانه‌های اکتشافی تکیه‌گاه چپ	۸۵
شکل ۵-۵-۶- تغییرات سطح آب گمانه‌ها در دوره ۱/۵ ساله برای گمانه‌های اکتشافی تکیه‌گاه چپ	۸۵
شکل ۷-۵-۵- دیاگرام پایپر نمونه‌های مورد مطالعه در محدوده ساختگاه سد صفا	۸۷
شکل ۸-۵-۵- دیاگرام استیف نمونه‌های مورد مطالعه در محدوده ساختگاه سد صفا	۸۸
شکل ۹-۵-۵- نتایج آزمایش حدود اتربرگ بر روی نمونه‌های مارن و مارن سیلتی	۹۰
شکل ۹-۱۰-۵- نمودار تغییرات RQD نسبت به عمق	۹۳
شکل ۹-۱۱-۵- نمودار تغییرات RMR در گمانه‌های اکتشافی	۹۴
شکل ۹-۱۲-۵- نمودار تغییرات RMR در برابر عمق	۹۴

عنوان

صفحه

۹۶ شکل ۱۳-۵ - نمایش GSI انتخاب شده برای توده سنگ‌های ساختگاه سد صفا
۹۸ شکل ۱۴-۵ - نمودار SPI و RQD در مقابل عمق برای گمانه SA220
۹۹ شکل ۱۵-۵ - نمودار SPI و RQD در مقابل عمق برای گمانه SA222
۱۰۰ شکل ۱۶-۵ - نمودار SPI و RQD در مقابل عمق برای گمانه SA215
۱۰۱ شکل ۱۷-۵ - نمودار SPI و RQD در مقابل عمق برای گمانه SA223
۱۰۲ شکل ۱۸-۵ - نمودار SPI و RQD در مقابل عمق برای گمانه SA216
۱۰۳ شکل ۱۹-۵ - نمودار فراوانی نوع رفتار در تکیه‌گاه چپ
۱۰۳ شکل ۲۰-۵ - نمودار فراوانی نوع رفتار در بستر (بی مرکزی)
۱۰۴ شکل ۲۱-۵ - نمودار فراوانی نوع رفتار در تکیه‌گاه راست
۱۰۵ شکل ۲۲-۵ - آرایش شماتیک گمانه‌های تزریق آزمایشی سیمان سد صفا
۱۰۷ شکل ۲۳-۵ - نمودار خورند سیمان و آب در مقابل عمق و بازشدگی هیدرولیکی در گمانه SG1
۱۰۸ شکل ۲۴-۵ - نمودار خورند سیمان به همراه بازشدگی در مقابل عمق و تعداد درزه در گمانه SG1
۱۰۸ شکل ۲۵-۵ - نمودار خورند سیمان و مقادیر SPI در برابر عمق و تعداد درزه در گمانه SG1
۱۰۹ شکل ۲۶-۵ - نمودار خورند سیمان و آب در مقابل عمق و بازشدگی هیدرولیکی در گمانه SG2
۱۱۰ شکل ۲۷-۵ - نمودار فراوانی بازشدگی و خورند سیمان در برابر عمق در گمانه SG2
۱۱۱ شکل ۲۸-۵ - نمودار خورند آب و سیمان در مقابل عمق و بازشدگی در گمانه SG3
۱۱۱ شکل ۲۹-۵ - نمودار فراوانی خورند سیمان و مقدار بازشدگی در مقابل عمق و تعداد درزه گمانه SG3
۱۱۲ شکل ۳۰-۵ - نمودار خورند آب و میزان RQD در مقابل عمق در گمانه CHG1
۱۱۲ شکل ۳۱-۵ - نمودار خورند آب و بازشدگی در مقابل عمق و تعداد درزه در گمانه CHG1
۱۱۳ شکل ۳۲-۵ - نمودار خورند سیمان و آب در مقابل عمق در گمانه SG5
۱۱۴ شکل ۳۳-۵ - نمودار خورند سیمان و میزان بازشدگی در برابر عمق و تعداد درزه در گمانه SG5
۱۱۵ شکل ۳۴-۵ - نمودار خورند آب و سیمان در مقابل عمق و بازشدگی در گمانه SG6
۱۱۵ شکل ۳۵-۵ - نمودار فراوانی خورند سیمان و بازشدگی در مقابل عمق در گمانه SG6
۱۱۶ شکل ۳۶-۵ - نمودار آب و میزان RQD در مقابل عمق در گمانه CHG2
۱۱۶ شکل ۳۷-۵ - نمودار خورند سیمان و آب در برابر عمق و تعداد درزه در گمانه CHG2
۱۱۷ شکل ۳۸-۵ - مقایسه خورند آب در گمانه‌های مختلف تزریق
۱۱۸ شکل ۳۹-۵ - مقایسه خورند سیمان و آب در گمانه‌های مختلف تزریق
۱۱۹ شکل ۴۰-۵ - مقایسه فراوانی بازشدگی درزه‌ها در برابر جریان عبوری از آنها در کل گمانه‌ها

صفحه	عنوان
۱۲۲	شکل ۴۱-۵ - میزان خورند سیمان و آب در گمانه‌های تزریق
۱۲۴	شکل ۴۲-۵ - عمق پرده تزریق
۱۲۵	شکل ۴۳-۵ - مقطع نفوذپذیری ساختگاه سد

فهرست جداول

عنوان	صفحة
جدول ۱-۲-۱- ردہبندی تداوم درزهای	۱۴
جدول ۲-۲- مقادیر پیشنهادی فشار بر حسب Mpa با در نظر گرفتن شرایط مختلف سنگ	۴۴
جدول ۲-۳- طیقه بندی میزان خورند	۴۶
جدول ۲-۴- دانسیته اولیه سوسپانسیون تزریق	۵۵
جدول ۲-۵- نسبت W/C بر اساس میزان بازشدگی و مقادیر لوزن منسوب به آنها	۵۵
جدول ۲-۶- ردہ بندی سنگ بر اساس SPI	۶۵
جدول ۳-۱- نتایج آزمایشهای فیزیکو شیمیابی نمونههای آب سد صفا	۸۶
جدول ۳-۲- نتایج آزمایش برش مستقیم	۹۰
جدول ۳-۳- نتایج مقاومت فشاری تک محوری و مقاومت کششی برزیلین	۹۰
جدول ۳-۴- نتایج آزمایش تحکیم بر روی نمونههای مارنی	۹۱
جدول ۳-۵- نتایج آزمایش تورمی	۹۱
جدول ۴-۵- تعیین پارامترهای دینامیکی سنگهای ساختگاه با استفاده از سرعت امواج	۹۱
جدول ۵-۷- توصیف کیفی سنگ بر اساس شاخص کیفی سنگ (RQD)	۹۳
جدول ۵-۸- امتیاز RMR اصلاح شده در پی سد صفا	۹۴
جدول ۵-۹- ردہ بندی توده سنگهای ساختگاه بر اساس طیقه بندی Q	۹۵
جدول ۵-۱۰- شاخص GSI برای توده سنگهای ساختگاه سد صفا	۹۶
جدول ۵-۱۱- مقادیر نسبت و درصد بنتونیت بر اساس نفوذپذیری	۱۰۶

فصل اول

کلیات

۱-۱- مقدمه

در جهان امروز و در شرایطی که مشکل کمبود آب بخش‌های وسیعی از کره زمین را فرا گرفته است، نه تنها آب زراعی بلکه آب آشامیدنی هر روز کمتر و کمتر می‌شود. بیش از ۶ میلیارد جمعیت پراکنده بر روی زمین اکنون دریافته‌اند که آب قدر و منزلي دیگر دارد و بدون این مایع حیاتی دوام و بقای انسان ناممکن است.

از آنجا که کشور ایران در منطقه‌ای خشک و نیمه خشک قرار گرفته است، همواره از کم آبی و خشکسالی‌های متتمادی رنج می‌برد، لذا مسئله مهار و ذخیره آب‌ها و سیلاب‌های سطحی بسیار مهم می‌باشد. سدها از جمله سازه‌هایی هستند که به منظور کنترل و مهار آب‌های جاری احداث می‌گردند و هدف از ساخت آن‌ها ممکن است یک منظوره یا چند منظوره باشد. یکی از مسائلی که در ارتباط با سدها بایستی مد نظر قرار گیرد، انتخاب محل مناسب می‌باشد زیرا شرایط مناسب و خوب پی از نیازهای اساسی در سدسازی می‌باشد. محل سدها باید به لحاظ پایداری در مقابل لغزنده‌گی، نشت، تغییر شکل، نفوذ و نشت و فشار بالادهنده (فشار تحتانی) مورد بررسی قرار گیرند که در این رابطه آب زیرزمینی و میزان نشت از مهمترین مسائل در پایداری سدها می‌باشد.